

## 微小電極を用いた生物膜内の水素ガス濃度の測定

八戸工業大学 正○佐藤 久  
北海道大学大学院 正 岡部 聰

1.はじめに

現代の大量資源消費型文明社会では多量の化石燃料が消費され、これに伴う  $\text{CO}_2$  の排出は地球温暖化を引き起こしている。今後はこのような社会システムを是正し、持続的発展を可能とするシステムを構築することが求められている。産業から民生に至るまでの  $\text{CO}_2$  排出量を抑制するための方策として、化石燃料に替わる新エネルギーとして水素ガス( $\text{H}_2$ )を使用することが提案されている。 $\text{H}_2$  は燃焼時には基本的に水のみを生成し、 $\text{CO}_2$  のような環境に悪影響を与える物質を放出しない。また、 $\text{H}_2$  は近年著しく開発が進んでいる燃料電池の燃料となる。現在のところ燃料電池のための  $\text{H}_2$  は物理化学的な方法(水の電気分解、化石燃料(ナフサや天然ガス)の改質、有機物(アルコールやメタン)の改質、化学物質の変換、等)と生物学的な方法(アルコール、メタン、シクロヘキサン、ナフタレンの改質、水素生成細菌を用いた水素発酵、等)で生産されている<sup>1)</sup>。これらの方法を比較した時、生物学的な方法は常温常圧の条件下で反応が進行するため、物理化学的な方法に比べてエネルギーを節約できる、特殊なリアクターを必要としないといった利点があることが知られている。しかしながら、生物学的反応であるが故にその反応速度が遅く、現在のところ生物学的  $\text{H}_2$  生成リアクターを用いて安定的かつ高効率に  $\text{H}_2$  を生成することは難しい。今後、リアクターの安定化、高効率化を達成するためには、リアクター内の  $\text{H}_2$  生成機構を明らかにすることが不可欠となると考えられる。そこで本研究では、有機性廃棄物(下水)から  $\text{H}_2$  を生成している生物膜内の  $\text{H}_2$  生成反応を解析するために  $\text{H}_2$  微小電極を開発した。加えて、これら微小電極を用いて生物膜内の  $\text{H}_2$  生成領域および生成速度を検討した。

2.実験方法

本研究では青森県八戸市東部終末処理場の汚泥濃縮槽からの返流水が流入するマンホール内に形成された嫌気性生物膜を用いて実験を行った<sup>2)</sup>。このマンホールは汚泥濃縮槽より約 10m 下流に位置する。マンホールの底から高さ約 5cm までの部分は常時返流水が満たされており、返流水は間欠的に流入するため、水深は最大約 20cm まで周期的に変動する。このマンホール内を流れる返流水の水質を 2002 年 5 月から 12 月の間測定した。このマンホール内にモルタル供試体(早強ポルトランドセメントおよびセメント強さ試験用標準砂を用いて作製、高さ 48cm × 4cm × 4cm)を固定した。設置から約 1 カ月後にモルタル供試体に付着した生物膜を供試体と共に採取した。この生物膜は常時水面下に存在していた。

採取した生物膜内の  $\text{H}_2$  濃度分布を  $\text{H}_2$  微小電極を用いて以下の手順により測定した。供試体を実験室に持ち帰り、微小電極測定用培地(4L)が満たされた容器内に測定する生物膜が付着した側面を上にして固定した。測定用培地の組成(mM)は、 $\text{MgCl}_2 \cdot 6\text{H}_2\text{O}$ (0.45)、 $\text{CaCl}_2$ (0.04)、 $\text{NH}_4\text{Cl}$ (1.52)、 $\text{K}_2\text{HPO}_4$ (4.6)、 $\text{KH}_2\text{PO}_4$ (3.7)、Glucose(2.0)とし、pH を約 7.0 に、 $\text{O}_2$  濃度を 30  $\mu\text{M}$  以下に調整した。供試体を容器内に固定した後、約 1 時間生物膜を培地内で馴致した。その後、微小電極を生物膜表面から 100  $\mu\text{m}$  間隔で生物膜内に挿入し、 $\text{H}_2$  濃度分布を測定した。測定中は培地をスターラーで攪拌し生物膜表面に約 5cm/s の流速を与えた。測定は 2003 年 4 月から 12 月の間定期的に行なった。

3.結果

マンホール内の水質(平均値±標準偏差)は、 $\text{O}_2=80\pm20\mu\text{M}$ 、水温は 18±3.4°C、pH=6.9±0.2 であった。有機物濃度は COD=230±75mg/L、DOC=110±46mg/L と比較的高かった。ORP=-1.7±36mV、 $\text{H}_2\text{S}=200\pm95\mu\text{M}$ 、 $\text{NH}_4^+=3850\pm1200\mu\text{M}$  であったことから、下水が嫌気的であったことが明らかとなった。また、 $\text{SO}_4^{2-}=170\pm205\mu\text{M}$ 、 $\text{NO}_3^-=10\pm20\mu\text{M}$ 、 $\text{NO}_2^-$ =15±50  $\mu\text{M}$  であった。設置から約 1 ヶ月後、供試体の底から高さ約 20cm (すなわち下水中および水面付近に位置する供試体) の部分には灰色のゲル状の嫌気性生物膜が形成されていた。

Fig. 1 に典型的な嫌気性生物膜内の  $\text{H}_2$  濃度分布(値は平均濃度、誤差線は標準偏差)および濃度分布から算出した  $\text{H}_2$  生成速度分布を示した。測定用培地内には  $\text{H}_2$  は検出されなかつものの、膜表面付近では  $\text{H}_2$  が検出され、 $\text{H}_2$  濃度は膜深さ方向に増大し、深さ約 2000  $\mu\text{m}$  の地点において最大となった(Fig. 1A)。最大  $\text{H}_2$  濃度は約 200  $\mu\text{M}$  であり、この値は約 0.25atm(約 25kPa)の  $\text{H}_2$  分圧に相当する。生物膜採取時期により生物膜内最大  $\text{H}_2$  濃度は異なった(約 30 ~ 約 300  $\mu\text{M}$ )。 $\text{H}_2$  生成速度分布図から、 $\text{H}_2$  は深さ 800 ~ 1800  $\mu\text{m}$  の領域で生成されていたことが明らかとなった(Fig. 1B)。 $\text{H}_2$  生成速度は深さ 1000  $\mu\text{m}$  の地点で最大(7.9  $\mu\text{mol}/\text{cm}^2/\text{h}$ )となった。 $\text{H}_2$  は測定用培地中のグルコースや生物膜内に存在した有機物が水素生成細菌により分解されることにより生物学的に生成されたと考えられる。また、 $\text{H}_2$  は膜表面から深さ 800  $\mu\text{m}$  の領域で消費された。 $\text{H}_2$  消費速度は深さ 400  $\mu\text{m}$  の地点で最大(6.0  $\mu\text{mol}/\text{cm}^2/\text{h}$ )となった。 $\text{H}_2$  はメタン生成細菌により嫌気的に、または測定用培地中に存在した  $\text{O}_2$  により好気的に消費されたと考えられる。

Fig. 2 に測定用培地中の  $\text{SO}_4^{2-}$  濃度を 0 ~ 10mM に段階的に調整した場合の嫌気性生物膜内  $\text{H}_2$  濃度分布(値は平均濃度、誤差線は標準偏差)を示した。測定用培地中に  $\text{SO}_4^{2-}$  が存在しない場合、深さ 2000  $\mu\text{m}$  の地点において平均  $\text{H}_2$  濃度は約 55  $\mu\text{M}$  であった。測定用培地中に約 5mM となるように  $\text{SO}_4^{2-}$  を添加したところ、最大  $\text{H}_2$  濃度は約 30  $\mu\text{M}$  に減少

した。さらに測定用培地に約10mMとなるように $\text{SO}_4^{2-}$ を添加したところ、生物膜内において $\text{H}_2$ は枯渇した。また、測定用培地中の $\text{NO}_3^-$ 濃度を0~5mMに段階的に調整し嫌気性生物膜内の $\text{H}_2$ 濃度分布を測定したところ、 $\text{NO}_3^-$ 濃度が5mMの条件下において生物膜内の $\text{H}_2$ は枯渇した。さらに、 $\text{O}_2$ 濃度を0~200 $\mu\text{M}$ に段階的に調整し嫌気性生物膜内の $\text{H}_2$ 濃度分布を測定したところ、深さ1000 $\mu\text{m}$ の地点の平均 $\text{H}_2$ 濃度は約140 $\mu\text{M}$ から約40 $\mu\text{M}$ に減少した。 $\text{SO}_4^{2-}$ 、 $\text{NO}_3^-$ および $\text{O}_2$ 濃度の増大に伴い $\text{H}_2$ 濃度が減少した理由として、これら電子受容体の添加により多種多様な細菌の活性が高まり、電子供与体として $\text{H}_2$ が消費されたこと、水素生成細菌が他の細菌との有機物をめぐる競合に敗れたことが考えられる。

#### 4. 考察

一般に $\text{H}_2$ は多種多様な細菌の電子供与体であるため、環境中において容易に消費され、検出されることはまれである。本研究においても生物膜外において $\text{H}_2$ が検出されることはない。しかしながら、 $\text{H}_2$ 微小電極の適用により、生物膜内という局所的な空間においては $\text{H}_2$ が存在する場合があることが明らかとなった。本研究において、微小電極を用いて河川底泥内、UASBグラニュール内、水田の底泥内、下水処理プロセスで用いられた好気性生物膜内の $\text{H}_2$ 濃度を測定したものの、いずれのサンプルにおいても $\text{H}_2$ は検出されなかった。本研究において嫌気性生物膜内でのみ $\text{H}_2$ が検出された理由については明らかにできなかったため、今後の研究課題である。生物膜内に $\text{H}_2$ が蓄積することは、 $\text{H}_2$ 生成リアクターから効率よく $\text{H}_2$ を回収するためには生物膜内部に着目すべきであることを示唆している。また、 $\text{CH}_4$ 発酵プロセスにおいては $\text{H}_2$ 分圧を10<sup>-4</sup>atm以下に維持する必要があることが知られている。本研究の結果は、たとえリアクター内に $\text{H}_2$ が検出されなくとも生物膜内に $\text{H}_2$ が蓄積し、 $\text{CH}_4$ 発酵プロセスが不安定になる可能性を指摘している。従って、今後は $\text{H}_2$ 微小電極を用いて $\text{CH}_4$ 発酵プロセスに用いられる生物膜内の $\text{H}_2$ 濃度を測定することが望まれる。

本研究で解析した生物膜内では $\text{H}_2$ 生成領域と $\text{H}_2$ 消費領域が異なった。 $\text{H}_2$ 生成リアクターを運転する場合、リアクター内で $\text{H}_2$ 消費反応を抑制する必要がある。今後、 $\text{H}_2$ 生成領域と $\text{H}_2$ 消費領域が分離した要因を明らかにし、これらを人為的に制御可能となれば、 $\text{H}_2$ 生成リアクターの $\text{H}_2$ 生成効率を高めることができると考えられる。本研究では $\text{SO}_4^{2-}$ 、 $\text{NO}_3^-$ および $\text{O}_2$ 濃度の増大に伴い $\text{H}_2$ 濃度が減少する(すなわち $\text{H}_2$ 生成効率が低下する)ことを明らかにした。この結果から、 $\text{H}_2$ 生成リアクター内から $\text{SO}_4^{2-}$ 、 $\text{NO}_3^-$ および $\text{O}_2$ を排除することで $\text{H}_2$ 生成速度を高めることができる可能性が示唆された。

#### 4.結論

本実験では $\text{H}_2$ 微小電極を用いて下水管内から採取された嫌気性生物膜内の $\text{H}_2$ 濃度を測定した。この結果から、生物膜外に $\text{H}_2$ が存在しない条件下においても生物膜内には $\text{H}_2$ が蓄積している場合があることを明らかにした。また、液本体中の $\text{SO}_4^{2-}$ 、 $\text{NO}_3^-$ および $\text{O}_2$ 濃度の増大に伴い生物膜中の $\text{H}_2$ 濃度が減少することが明らかとなった。今後は生物膜内に $\text{H}_2$ が蓄積する要因を明らかにするとともに高効率の $\text{H}_2$ 生成リアクターの開発を試みる。

#### 参考文献

- 1) 田口文章 (2003) 水素生成細菌による水素の製造、バイオインダストリー、20(11), 64-68.
- 2) 佐藤久 他 (2003) 微小電極を用いた下水道構造物の腐食機構の検討、第58回土木学会年次講演会講演概要集、373-374.

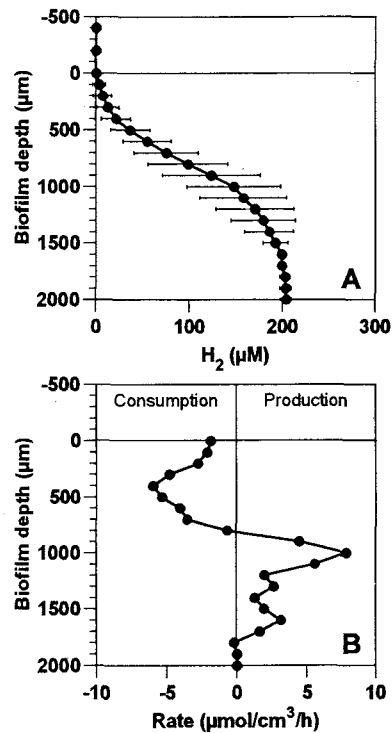


Fig. 1 Average  $\text{H}_2$  concentration profile (A) and the profile of  $\text{H}_2$  production rate (B) in the anaerobic biofilm.

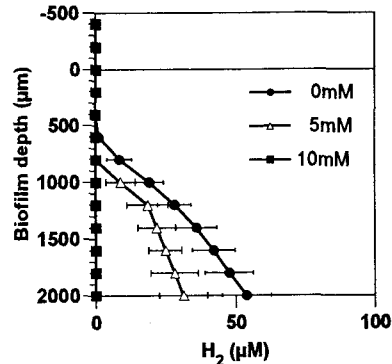


Fig. 2 Average  $\text{H}_2$  concentration profiles in the anaerobic biofilm, which was incubated at 0, 5 and 10 mM of  $\text{SO}_4^{2-}$  step by step.